УЛК 621.9

ТЕОРЕТИЧЕСКАЯ ОЦЕНКА ПОРОЗНОСТИ КОЛЕЦ РАШИГА В ПРИСТЕННОЙ ОБЛАСТИ НАСАДОЧНОЙ КОЛОННЫ

© 2024 г. А. Б. Голованчиков^а, Н. А. Меренцов^а, М. В. Топилин^{а, *}, П. П. Залипаев^а

^аФГБОУ ВО "Волгоградский государственный технический университет", Волгоград, Россия

*e-mail: topilinmik@gmail.com
Поступила в редакцию 26.03.2024 г.
После доработки 03.06.2024 г.
Принята к публикации 30.06.2024 г.

Выведена формула для расчета порозности при упорядоченной установке колец Рашига в пристенной области насадочной колонны. Проведены сравнительные расчеты порозности в пристенной области с порозностью при упорядоченной укладке колец Рашига в ряды внутри корпуса аппарата, заданной в справочных таблицах и по формуле, рассчитанной теоретически.

Показано влияние геометрических размеров колец Рашига: наружного диаметра и толщины стенки, внутреннего диаметра аппарата и числа свободно установленных колец на порозность в пристенной области аппарата.

Ключевые слова: кольца Рашига, порозность, пристенная область, упорядоченная укладка, наружный диаметр, толщина стенки, диаметр аппарата

DOI: 10.31857/S0040357124040095 EDN: AVYKAA

ВВЕДЕНИЕ

Как известно, все тепломассообменные колонные аппараты разделяются на два основных типа: тарельчатые и насадочные [1–8]. Первые более совершенные по конструкции и в эксплуатации обеспечивают устойчивую работу в широком диапазоне изменения рабочих параметров по производительности, температуре материальных потоков и концентрациям компонентов. Однако они дорогие по стоимости и в обслуживании.

Поэтому насадочные колонные аппараты, простые в конструктивном исполнении и обслуживании, по-прежнему находят широкое применение в химической и нефтегазоперерабатывающей промышленности, а также в металлургическом, энергетическом, фармакологическом, пищевом и экологическом производстве и других технологических процессах.

Возможны два варианта укладки насадочных тел в колонну: свободная, или в навал, и упорядоченная, или в ряды. Первая: простая и быстрая, с простой засыпкой элементов насадки в колонну не позволяет обеспечить точные значения порозности ε и удельной поверхности σ [12–16].

Поэтому эти параметры для разных типов насадки задаются в некотором диапазоне [9]. Так, для одних из самых распространенных "керамических колец Рашига 25 × 25 × 3" удельный объем или порозность при свободной укладке варьируется в пределах $\pm 4.5\%$, $\varepsilon = 0.68 \div 0.74$, а удельная поверхность $\pm 6.8\%$, $\sigma = 190 \div 220 \text{ м}^2/\text{м}^3$. Более совершенна, но трудоемка и затратна по времени укладка колец Рашига упорядоченно в ряды. Здесь уже вышеназванные параметры насадки - порозность и удельная поверхность задаются жестко или с небольшим диапазоном изменения по величине. В табл. 4.1 того же справочника [11], только для керамической насадки $50 \times 50 \times 5$, размеры задаются в узком диапазоне: порозность $\varepsilon = 0.72 \div 0.735 \ (+1.5\%)$, а удельная поверхность $\sigma = 110 \div 120 (+4,3\%)$. Для остальных 9 колен от " $25 \times 25 \times 2.4$ " до " $150 \times 150 \times 16$ " порозность и удельная поверхность задаются жестко, без границ их возможного варьирования. То же касается и насадок, выполненных из разных материалов, размеры порозности и удельной поверхности которых приведены в табл. 4.2 [9].

Однако другой проблемой, выявленной в процессе эксплуатации насадочных тепломассообменных колонн даже для насадок, упорядоченно установленных в ряды, является поперечная неравномерность порозности и удельной поверхности по сечению колонны. Это приводит к необходимости размещения насадки в виде отдельных слоев по высоте с безнасадочными зазорами между ними, в которых устанавливаются перераспределительные тарелки для передачи жидкой фазы с периферии от стенок аппарата к центру. Распределители различных конструкций описаны в справочнике [11].

Здесь же приведена таблица с рекомендациями по допустимой высоте секции насадки в колонне и отношению диаметра колонны к наружному диаметру насадки. Чтобы уменьшить неравномерность порозности и удельной поверхности для колец Рашига, рекомендуется $H_{cr}/D \le 2.5 \div 3$, то есть при диаметре колонны D = 1 м высота секции с насадкой не должна превышать 2,5-3 м, при этом диаметр колонны к наружному диаметру колец Рашига должен быть $D/d \ge 30$. Для колонн малого диаметра возможно уменьшить последнее неравенство до $D/d \geqslant 8$. Выравнивать распределение порозности и удельной поверхности насадки, засыпанной в навал, возможно, применяя различные способы ее засыпки в колонну: от периферии к центру, от центра к периферии и комбинировании в одной секции обоих способов [11].

То же касается и различных конструкций, обеспечивающих равномерность распределения орошения по сечению колонны.

Причину такого неравномерного распределения потоков жидкости и газа (пара) по сечению колонны объясняют неодинаковой порозностью насадки в центре и у стенок колонны. Но количественного подтверждения этой различной порозности теоретически не проводилось.

Целью работы является теоретический расчет порозности колец Рашига, упорядоченно установленных в пристенной области насадочной колонны, и сравнение ее с табличными значениями, приведенными в научной, учебной и справочной литературе.

ТЕОРЕТИЧЕСКИЙ ВЫВОД ФОРМУЛЫ ПОРОЗНОСТИ

Рассмотрим на рис. 1 сектор окружности АВО с внутренним диаметром колонны D и упорядоченно установленными у стенки в ряд кольцами Рашига с наружным диаметром d и толщиной стенки кольца δ (высота колец Рашига одинаковая и обычно равна h=d). Центры колец Рашига у стенки лежат на окружности с диаметром $D_1 = D-d$. Длина этой окружности $L_1 = \pi D_1$, или

$$L_1 = \pi \cdot (D/d). \tag{1}$$

Число колец, укладывающихся упорядоченно в кольцевой ряд на этой окружности $N_I = L_I/d$ или с учетом уравнения (1):

$$N_1 = \pi \cdot (D/d - 1). \tag{2}$$

Центральный угол ϕ сектора ABO (угол, приходящийся на одно кольцо Рашига) $\phi = (2\pi)/N_{l}$, или с учетом формулы (2)

$$\varphi = \frac{2\pi}{\left(D/d - 1\right)},\tag{3}$$

а площадь этого сектора АВО

$$S_{\text{ABO}} = \frac{\pi D^2}{4} \left(\frac{\phi}{2\pi} \right),$$

или с учетом формулы (3)

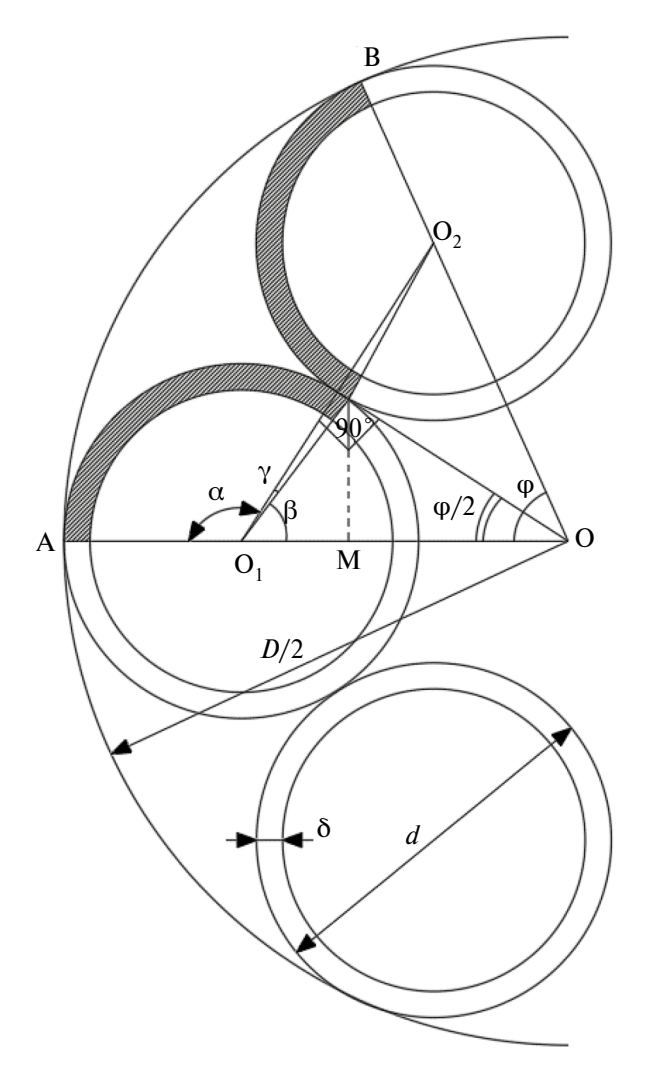


Рис. 1. Схема упорядоченной установки колец Рашига у стенки аппарата.

$$S_{\text{ABO}} = \frac{D^2}{4(D/d - 1)}.$$
 (4)

Треугольник OO_1O_2 – равнобедренный со сторонами $OO_1 = OO_2$, а отрезок OE - его высота

$$OE = OO_1 cos(\varphi/2)$$
.

Так как $OO_1 = (D - d) / 2$, то с учетом формулы (3) высота

OE =
$$\left(\frac{D-d}{2}\right)\cos\left(\frac{1}{\frac{D}{d}-1}\right)$$
,

а угол
$$\beta=\pi/2-\phi/2$$
, или
$$\beta=\frac{\pi}{2}-\frac{1}{\left(D/d-1\right)}. \tag{5}$$

Угол ОЕО, прямой и О,С — гипотенуза треугольника О, — ЕС, тогда угол γ может быть представлен в виде:

$$\cos \gamma = \frac{O_1 E}{O_1 C},\tag{6}$$

 $\cos \gamma = \frac{O_1 E}{O_1 C}, \qquad (6)$ $O_1 E$ — катет прямоугольного треугольника $OO_1 E$ $O_1 E = \frac{D-d}{2} S_m \frac{\phi}{2}$,

или с учетом формулы (3) $O_{\rm l}E = \frac{D-d}{2} sin \Bigg(\frac{1}{D_{/d}'-1}\Bigg).$

Тогда с учетом формулы (7) и $O_1C = d/2$ можно записать:

$$\cos \gamma = \left(\frac{D}{d} - 1\right) \sin \left(\frac{1}{D_d - 1}\right),\tag{8}$$

Обозначим α угол $AO_{1}C$, то есть

$$\alpha = \pi - \beta + \gamma$$
,

или с учетом обозначений (5) и (8)

$$\alpha = \frac{\pi}{2} + \frac{1}{D_d - 1} + \arccos \left[\left(\frac{D_d}{d} - 1 \right) \sin \left(\frac{1}{D_d - 1} \right) \right], \quad (9)$$

Площадь криволинейной фигуры АВО, СО, является периодом в пристенной с корпусом колонны, в которой заключены площадь порозности и площадь твердых колец насадки (последние на рис. 1 затемнены), соответствующие объемам пустот и твердой части колец Рашига, т.к. высоты равны высотам колец Рашига.

Площадь этой криволинейной фигуры равна площади сектора ABO с радиусом D/2, описываемая формулой (4), за минусом двух площадей треугольника O_1CO (площади треугольников O_1CO и O_2CO равны). В этом треугольнике O_1CO известны стороны $O_1O = \frac{D-d}{2}$ и $O_1C = d/2$ и все

три угла:

угол $O_1OC = \phi/2$, угол $CO_1O = \beta - \phi$ и угол $O_1CO = \pi - (\beta - \gamma) - \phi/2$.

Высота треугольника О СО

$$C3 = O_1C \cdot \sin(\beta - \gamma)$$

Тогда площадь двух треугольников О,СО определяется как

$$S_t = O_1O \cdot C3$$

$$S_t = \frac{D-d}{2} \cdot \frac{d}{2} \sin(\beta - \gamma). \tag{10}$$

Площадь криволинейной фигуры АВО2СО может быть с учетом уравнения (4) и (10) записана в виле:

$$S_{\phi} = \frac{D^2}{4(D/d-1)} - \frac{(D-d)}{4} d\sin(\beta - \gamma). \tag{11}$$

Площадь двух дуг торцов твердых поверхностей колец внутри этой фигуры АВО2СО1:

$$S_m = 2\frac{\alpha}{2\pi} \left\{ \frac{\pi}{4} \left[d^2 - \left(d - 2\delta \right)^2 \right] \right\},\,$$

где сомножитель в фигурных скобках – площадь торца кольца Рашига.

После алгебраических преобразований последняя формула приобретает вид:

$$S_m = \alpha \left(d\delta - \delta^2 \right). \tag{12}$$

Порозность в пристенной области может быть записана в виде:

$$S_c = 1 - \frac{S_m}{S_\phi}$$

или с учетом уравнений (11) и (12):

$$\varepsilon_c = 1 - \frac{4\alpha \left(\delta / D\right) \left(1 - \frac{\delta}{d} + \frac{\delta - d}{d}\right)}{2 - \left(1 - d / D\right)^2 \sin\left(\beta - \gamma\right)}.$$
 (13)

СРАВНЕНИЕ РАСЧЕТНЫХ ЗНАЧЕНИЙ СО СПРАВОЧНЫМИ ДАННЫМИ

Расчеты по формуле (13) для упорядочено насыпанных колец Рашига 25 × 25 × 3 у пристенной области дают значения порозности при изменении внутреннего диаметра в диапазоне D = 250-1400 мм, $\varepsilon = 0.6723 \div 0.6692$, то есть в широком диапазоне изменения диаметров колонны отклонения по $\Delta \varepsilon$ не превышают $\pm 0,003$.

По сравнению с теми же керамическими кольцами Рашига, насыпанными в навал, табличное значение $\varepsilon=0.68\div0.74$, то есть формула (13) несколько занижает порозность, хотя сравнение значений порозности для колец, насыпанных в навал и установленных упорядоченно, не совсем корректно.

Поэтому целесообразно сравнивать табличное значение порозности для упорядоченно установленных колец Рашига внутри колонны и рассчитанное по формуле (13) — установленных в области стенки.

Для керамических колец Рашига $25 \times 25 \times 2,4$, упорядоченно установленных внутри колонны, табличное значение $\varepsilon = 0,81[11]$, а при расчетах по формуле (13) оно значительно меньше и изменяется в том же диапазоне изменения диаметров колонны D(250-1400) мм $\varepsilon = 0,7307 \div 0,7281$.

Для стальных колец аналогичные результаты расчетов табличной порозности внутри колонны и рассчитанной по формуле (13), когда они установлены в близи стенки, приведены в табл. 1.

Уменьшение порозности во всех расчетах порозности колец Рашига в пристенной области, по сравнению с заданными в таблицах, при их установке внутри колонны связано с неплотной укладкой колец в пристенной области. Действительно, для колец $25 \times 25 \times 3$ расчетное число колец Рашига в пристенной области, рассчитанное по формуле (2), для диаметра колонны D = 500 мм

$$N_1 = 3.14 \left(\frac{500}{25} - 1 \right) = 59,66.$$

Уже дробная часть этого числа должна быть отброшена, а значит, увеличена доля порозности в пристенной области.

Модифицированная формула порозности в пристенной области при уменьшении числа колец по сравнению с их плотной укладкой $N_{\scriptscriptstyle \parallel}$

$$N=N_1-n,$$

где n- число, на которое уменьшается число колец в пристенной области по сравнению с их плотной укладкой:

$$\varepsilon_M = 1 - B \left(\frac{N_1 - n}{N_1} \right),$$

где B — вычитаемое формулы (13)

$$B=1-\varepsilon_c$$
,

равная твердой доли объема колец в рассматриваемом секторе АВО (рис. 1).

На рис. 2 приведен график зависимости порозности колец Рашига при их неплотной укладки в пристенной области для колец $25 \times 25 \times 2,4$ (табличное значение $\varepsilon = 0,81$ [11], D = 250 мм) B = 0,27 от величины n.

Как видно из графиков на рис. 2, свободной укладкой колец Рашига в пристенной области с зазором между их боковыми стенками можно значительно увеличить порозность и даже поднять ее до уровня порозности внутри колонны, заданной по таблице [11]. Если уменьшить число колец Рашига в пристенной области с 28 (плотная укладка) до 20, то порозность в пристенной области увеличится с 0,73 до 0,81, то есть сравняется с табличным значением.

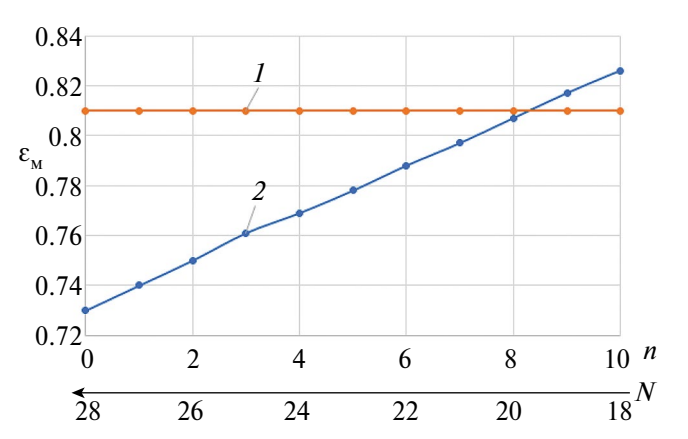


Рис. 2. Зависимость модифицированной порозности колец Рашига в пристенной области колонны при свободной и упорядоченной укладке. I — табличное значение $\varepsilon_{\tau} = 0,81$ [11] порозности для керамических колец $25 \times 25 \times 2,4,\ 2$ — упорядоченная свободная укладка колец Рашига с зазорами между боковыми стенками, где n — уменьшение числа колец Рашига по сравнению с их плотной укладкой в пристенной области. N — число колец Рашига в пристенной области.

Таблица 1. Сравнение табличного значения порозности стальных колец Рашига, установленных внутри колонны, с расчетным ее значением по формуле (13), установленных в области стенки колонны

No	Размеры колец Рашига	Табличное значение порозности внутри колонны	Расчетное значение порозности в области стенки в диапазоне измерения диаметра колонны $D = (250-1400)$ мм
1	$8 \times 8 \times 0,3$	0,9	$0,8870 \div 0,8868$
2	$10 \times 10 \times 0,5$	0,88	$0.8516 \div 0.8510$
3	$15 \times 15 \times 0,5$	0,917	$0,8994 \div 0,8990$

ЗАКЛЮЧЕНИЕ

- 1. Теоретически выведенная формула (13) для плотной упорядоченной укладки колец Рашига в пристенной области колонны занижает порозность по сравнению с ее табличным значением при упорядоченной укладке внутри колонны.
- 2. Увеличение диаметра колонны мало влияет на расчетное значение порозности в пристенной области при плотной укладке колец Рашига.
- 3. Для колец малых размеров и толщины стенки заданные табличные значения порозности колец Рашига внутри колонны незначительно отличаются от рассчитанных значений порозности по формуле (13) для пристенной области.
- 4. Модифицированная формула (14) позволяет регулировать порозность колец Рашига в пристенной области при их свободной упорядоченной укладке с зазором между боковыми стенками. Уменьшая число колец при свободной укладке, по сравнению с их плотной без зазоров укладкой в пристенной области, можно уравнять порозность в пристенной области с порозностью внутри слоя насадки.

ОБОЗНАЧЕНИЯ

ε	порозность, M^3/M^3
σ	удельная поверхность, M^2/M^3
d	наружный диаметр кольца Рашига, м
δ	толщина стенки кольца Рашига, м
h	высота кольца Рашига, м
φ	угол, приходящийся на одно кольцо Рашига

СПИСОК ЛИТЕРАТУРЫ

- 1. *Перри Г.Дж.* Справочник инженера-химика. Т. 2 / Пер. с 4-го англ. изд. под общ. ред. Н.М. Жаворонского и П.Г. Раменкова. Л.: Химия, 1969. 504 с.
- 2. Плановский А.М., Рамм В.М., Каган С.З. Процессы и аппараты химической технологии. 5-е изд., стер. М.: Химия, 1968. 848 с.
- 3. *Рамм В.М.* Абсорбция газов. 2-е изд., перераб. и доп. М.: Химия, 1976. 655 с.

- 4. Скобло А.И., Трегубова И.А., Молоканов Ю.К. Процессы и аппараты нефтеперерабатывающей и нефтехимической промышленности. 2-е изд., перераб. и доп. М.: Химия, 1982. 584 с.
- 5. *Гальперин Н.И.*, *Пебамк В.Л.*, *Костанян А.Е.* Структура потоков и эффективность колонных аппаратов химической промышленности. 1977.
- 6. *Лаптев А.Г.* Эффективность явлений переноса в каналах с хаотичными насадочными слоями: монография. СПб.: Страта, 2016.
- 7. *Баранов Д.А.* Процессы и аппараты химической технологии: учебное пособие. 3-е изд., стер. СПб.: Лань, 2020. 408 с.
- 8. *Борисов Г.С., Брыков В.Д., Дыткерский Ю.И., Ка-ган С.З. и др.* Основные процессы и аппараты химической технологии.М.: Химия, 1983. 272 с.
- 9. *Сокол Б.А.* Насадки массообменных колонн / Под общ. ред. Д.А. Баранова. М.: ЗАО "ИНФОХИМ", 2009. 358 с.
- 10. *Пушнов А.С.* Совершенствование конструкций контактных устройств для градирен. СПб.: Изд-во Политех. ун-та, 2019.
- 11. *Лаптев А.Г.* Сравнительная теплогидравлическая эффективность процессов с хаотичными насадочными слоями (упаковками) // Теорет. основы хим. техн. 2018. Т. 52. № 5. С. 591—596.
- 12. *Niegodajew P., Marek M.* Statistical variation of characteristics of random packed beds of Raschig rings: The influence of the sample size // Particuology. 2021. V. 56. P. 50.
- 13. *Marek M*. Numerical simulation of a gas flow in a real geometry of random packed bed of Raschig rings // Chem. Eng. Sci. 2017. V. 161. P. 382.
- 14. *Moghaddam E.M.* Hydrodynamics of narrow-tube fixed bed reactors filled with Raschig rings // Chem. Eng. Sci. 2020. V. 5
- 15. Перевезенцев Г.А., Колибаба О.Б., Горбунов В.А. Определение зависимости аэродинамического сопротивления насыпной садки от величины порозности и скорости фильтрации // Вестник Ивановского гос. энерг. ун-та. 2019. № 2. С. 16—24.
- 16. Голованчиков А.Б. Прохоренко Н.А., Меренцов Н.А., Левшина Е.В. Оптимальная установка колец Рашига в насадочной ректификационной колонне // Энерго- и ресурсосбережение: промышленность и транспорт. 2024. № 1. С. 11—15.